

## Влияние конечной проводимости стенок на структуру поля и характеристики круглого волновода

*В.В. Бирюков, В.А. Грачев*

Нижегородский государственный технический университет им. Р.Е. Алексеева  
603950, Российская Федерация, г. Нижний Новгород  
ул. Минина, 24

Рассмотрено использование импедансного метода для решения задачи о распространении волн в круглом волноводе с неидеально проводящей поверхностью. Приведено сравнение с результатами, получаемыми с помощью метода возмущений.

*Ключевые слова:* круглый волновод, уравнение Гельмгольца, дисперсионное уравнение, импедансные граничные условия.

Распространение электромагнитных волн в равновесных системах обязательно сопровождается диссипацией энергии. Тепловые потери являются важной характеристикой волновых процессов, во многом определяющей технические параметры разнообразных приборов и устройств СВЧ- и КВЧ-диапазонов. Поэтому расчету потерь при анализе электромагнитных полей в электродинамических системах уделяется достаточно большое внимание [1–11]. При этом оказывается, что учет потерь приводит не только к количественным изменениям характеристик системы, но в ряде случаев и к качественному изменению структуры полей [7].

Решение уравнений Максвелла для адекватных реальным устройствам моделей представляет весьма трудную задачу. Один из эффективных методов упрощения этой задачи – метод эквивалентных граничных условий, позволяющий исключить из рассмотрения некоторую область пространства (и поле в ней), задавая соответствующие условия на ее границе [1]. Классическим примером являются импедансные граничные условия Щукина – Леонтовича, описывающие поглощение энергии электромагнитного поля в хорошо проводящих средах.

Это условие выводится для плоской безграничной металлической поверхности. Но оно применимо и для криволинейной поверхности, если радиус кривизны много больше характерного масштаба изменения поля (в этом случае граница ведет себя как локально плоская). В произвольном случае можно получить более общие граничные условия, содержащие поправки на

кривизну поверхности [2–3] и учитывающие особенности на углах и ребрах [4].

Основная сложность состоит в получении точного выражения для поверхностного импеданса, учитывающего не только параметры материала, но и структуру электромагнитного поля в волноводе. В большинстве работ [5–8] используется приближенное («классическое») выражение для импеданса проводящей поверхности [9], которое обеспечивает точное выполнение граничных условий лишь при нормальном падении волны на поверхность металла.

Строгий расчет с учетом проникновения поля вглубь стенки является примером решения задачи о распространении цилиндрических волн в поперечно-неоднородной среде. Даже в кусочно-однородной по своим свойствам среде в волне, вообще говоря, отличны от нуля все шесть компонент поля и деление волн на магнитные и электрические уже не имеет смысла. Краевая задача для потенциальных функций становится очень громоздкой. Однако для металлов в сантиметровом диапазоне волн волновое сопротивление  $Z$  очень малая по модулю комплексная величина, скин-эффект сильно выражен и конечная проводимость с хорошей точностью может быть учтена с помощью граничного условия Щукина – Леонтовича. При этом поле в стенках волновода не представляет интереса, а поле внутри волновода определяется решением тех же уравнений, что и при идеальной проводимости стенок.

Рассмотрим круглый экранированный волновод без диэлектрического заполнения ( $\epsilon = 1$ ,  $\mu = 1$ ,  $\sigma = 0$ ). Считаем, что толщина проводящей

стенки волновода много больше глубины проникновения поля. Запишем уравнения Гельмгольца относительно продольных составляющих полей гибридных волн в цилиндрической системе координат:

$$\frac{\partial^2 E_z}{\partial \rho^2} + \frac{1}{\rho} \frac{\partial E_z}{\partial \rho} + \frac{1}{\rho^2} \frac{\partial^2 E_z}{\partial \theta^2} + \frac{\partial^2 E_z}{\partial z^2} + \frac{\omega^2}{c^2} E_z = 0, \quad (1)$$

$$\frac{\partial^2 H_z}{\partial \rho^2} + \frac{1}{\rho} \frac{\partial H_z}{\partial \rho} + \frac{1}{\rho^2} \frac{\partial^2 H_z}{\partial \theta^2} + \frac{\partial^2 H_z}{\partial z^2} + \frac{\omega^2}{c^2} H_z = 0. \quad (2)$$

Решения этих уравнений имеют вид:

$$E_z(\rho, \theta, z) = A J_n(\chi \rho) \cos n\theta e^{-j\beta z}, \quad (3)$$

$$H_z(\rho, \theta, z) = B J_n(\chi \rho) \sin n\theta e^{-j\beta z}, \quad (4)$$

где  $\chi^2 = (\omega/c)^2 - \beta^2$ ,  $\chi$  – поперечное волновое число;  $\beta$  – постоянная распространения;  $A$  и  $B$  – произвольные постоянные;  $n = 0, 1, 2, \dots$ ;  $c$  – скорость света в вакууме.

Составляющие полей  $E_\rho$ ,  $E_\theta$ ,  $H_\rho$  и  $H_\theta$  определяются из соотношений:

$$E_\rho = \frac{-j}{\chi^2} \left( \beta \frac{\partial E_z}{\partial \rho} + \frac{\omega \mu_0}{\rho} \frac{\partial H_z}{\partial \theta} \right), \quad (5)$$

$$E_\theta = \frac{-j}{\chi^2} \left( \frac{\beta}{\rho} \frac{\partial E_z}{\partial \theta} - \omega \mu_0 \frac{\partial H_z}{\partial \rho} \right),$$

$$H_\rho = \frac{j}{\chi^2} \left( \frac{\omega \epsilon_0}{\rho} \frac{\partial E_z}{\partial \theta} - \beta \frac{\partial H_z}{\partial \rho} \right), \quad (6)$$

$$H_\theta = \frac{-j}{\chi^2} \left( \omega \epsilon_0 \frac{\partial E_z}{\partial \rho} + \beta \frac{\partial H_z}{\partial \theta} \right).$$

Таким образом, согласно (3)–(6), компоненты поля гибридных волн имеют вид:

$$E_\rho = -j \left( \frac{A\beta}{\chi} J'_n(\chi \rho) + \frac{Bn\omega\mu_0}{\chi^2 \rho} J_n(\chi \rho) \right) \cos n\theta e^{-j\beta z},$$

$$E_\theta = j \left( \frac{An\beta}{\chi^2 \rho} J_n(\chi \rho) + \frac{B\omega\mu_0}{\chi} J'_n(\chi \rho) \right) \sin n\theta e^{-j\beta z},$$

$$E_z(\rho, \theta, z) = A J_n(\chi \rho) \cos n\theta e^{-j\beta z}, \quad (7)$$

$$H_\rho = -j \left( \frac{An\omega\epsilon_0}{\chi^2 \rho} J_n(\chi \rho) + \frac{B\beta}{\chi} J'_n(\chi \rho) \right) \sin n\theta e^{-j\beta z},$$

$$H_\theta = -j \left( \frac{A\omega\epsilon_0}{\chi} J'_n(\chi \rho) + \frac{Bn\beta}{\chi^2 \rho} J_n(\chi \rho) \right) \cos n\theta e^{-j\beta z},$$

$$H_z(\rho, \theta, z) = B J_n(\chi \rho) \sin n\theta e^{-j\beta z}.$$

Граничные условия Шукина – Леонтовича в общем случае определяются выражением

$$[\vec{n}, \vec{E}] = -Z_2 [\vec{n}, [\vec{n}, \vec{H}]], \quad (8)$$

где  $\vec{n}$  – нормаль к поверхности однородной среды с потерями (направлена вглубь среды).

В рассматриваемой нами задаче вектор нормали  $\vec{n} \uparrow \vec{e}_\rho$ . В этом случае векторное условие (8) распадается на два условия, связывающие тангенциальные составляющие векторов  $\vec{E}$  и  $\vec{H}$  поля в непроводящей среде на границе с проводником, имеющим волновое сопротивление  $Z_2$ :

$$E_z = -Z_2 H_\theta, \quad E_\theta = Z_2 H_z, \quad (9)$$

где

$$Z_2 = \sqrt{\frac{\mu_0}{\epsilon_0 \tilde{\epsilon}_{к2}}}, \quad \tilde{\epsilon}_{к2} = \tilde{\epsilon}'_2 - \frac{j\sigma_2}{\omega \epsilon_0};$$

$\tilde{\epsilon}_{к2}$  – относительная комплексная диэлектрическая проницаемость проводящей среды;  $\sigma_2$  – проводимость.

Применяя граничное условие (9) к выражениям для компонент поля (7) получим систему уравнений относительно постоянных  $A$  и  $B$ :

$$\begin{cases} A \left[ J_n(\chi a) - \frac{jZ_2 \omega \epsilon_0}{\chi} J'_n(\chi a) \right] - B \frac{jZ_2 n \beta}{\chi^2 a} J_n(\chi a) = 0, \\ A \frac{jn\beta}{\chi^2 a} J_n(\chi a) + B \left[ \frac{j\omega \mu_0}{\chi} J'_n(\chi a) - Z_2 J_n(\chi a) \right] = 0. \end{cases}$$

Записывая условие нетривиальности ее решения (приравнивая нулю главный определитель), получаем дисперсионное уравнение волн круглого экранированного волновода с неидеально проводящей стенкой:

$$\begin{aligned} & \left[ J_n(\chi a) - jZ_2 \frac{\omega \epsilon_0}{\chi} J'_n(\chi a) \right] \times \\ & \times \left[ j \frac{\omega \mu_0}{\chi} J'_n(\chi a) - Z_2 J_n(\chi a) \right] = \\ & = Z_2 \left[ \frac{n\beta}{\chi^2 a} J_n(\chi a) \right]^2. \end{aligned} \quad (10)$$

Решение данного дисперсионного уравнения для нескольких волн круглого волновода с медными стенками отражено на рис. 1. Постоянные распространения, полученные с учетом конечной проводимости медных стенок, на графике неотличимы от значений, получаемых в приближении идеально проводящих стенок.

Сравнение коэффициентов затухания, полученных двумя этими методами (рис. 2), показывает их хорошее совпадение при значениях удельной проводимости  $5,8 \cdot 10^7$  сим/м (проводимость меди). Графики зависимостей, полученных обоими методами, совпадают. Отличие в этом случае составляет не более 0,05 дБ/км.

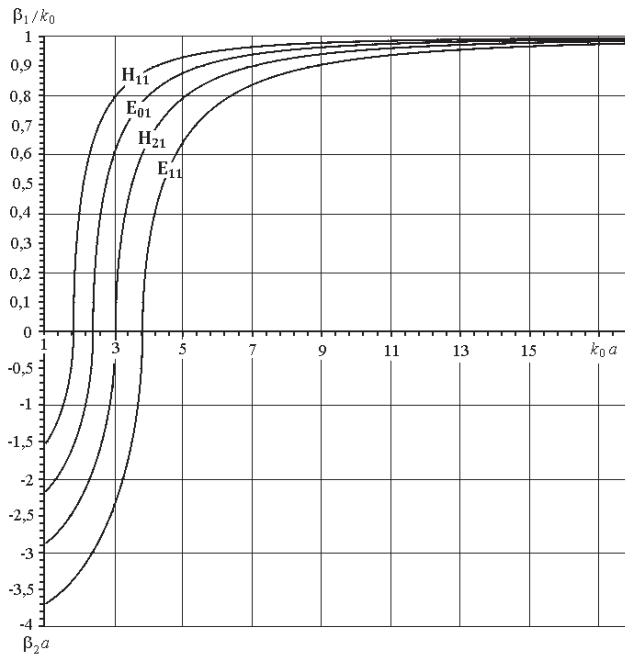


Рис. 1. Зависимости нормированных действительной  $\beta_1$  и мнимой  $\beta_2$  частей постоянных распространения первых 4-х волн круглого волновода от нормированной частоты

Наблюдается некоторое занижение величины потерь (растущее с ростом частоты) при использовании метода возмущений.

При уменьшении проводимости материала стенок волновода различие коэффициентов затухания становится более заметным. На рис. 3 показаны зависимости коэффициентов затухания основной волны круглого волновода от частоты при удельной проводимости стенок  $10^3$  сим/м, полученные импедансным методом и методом возмущений.

Как отмечалось выше, наличие потерь в стенках волновода может приводить к изменению структуры поля. Раздельное существование Е- и Н-волн становится невозможным (за исключением азимутально симметричных). В частности, основная волна круглого волновода  $H_{11}$  становится гибридной или «квазимагнитной» волной. О степени гибридности этой волны можно судить по соотношению амплитудных коэффициентов  $V$  и  $A$ . На рис. 4 показана зависимость отношения  $A/B$ , нормированного на волновое сопротивление свободного пространства, от удельной проводимости материала стенок волновода.

Как видно из рисунка, с уменьшением удельной проводимости материала стенок волновода структура электромагнитного поля меняется. Это изменение необходимо учитывать как при расчете затухания волны в таком волноводе, так и при проектировании устройств возбуждения.

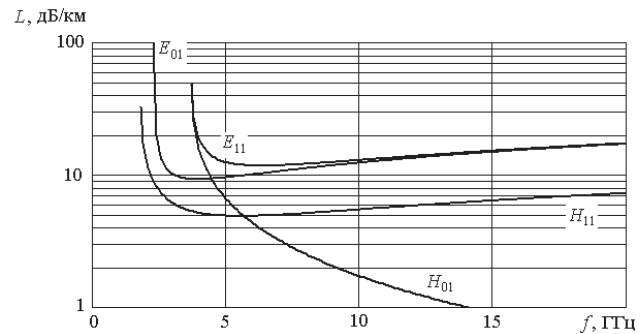


Рис. 2. Зависимости затухания первых 4 волн круглого волновода от частоты. Радиус волновода  $a = 5$  см, удельная проводимость материала стенок волновода  $\sigma = 5,8 \cdot 10^7$  сим/м

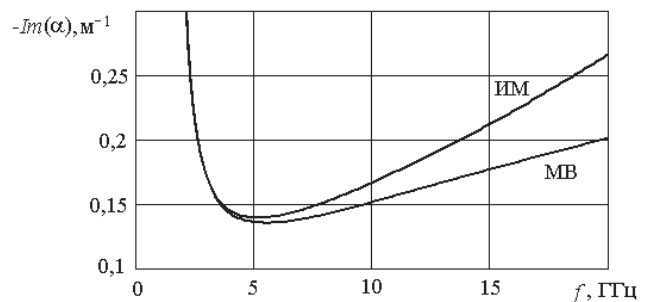


Рис. 3. Зависимости коэффициентов затухания основной волны круглого волновода от частоты. Радиус волновода  $a = 5$  см, удельная проводимость материала стенок волновода  $\sigma = 10^3$  сим/м

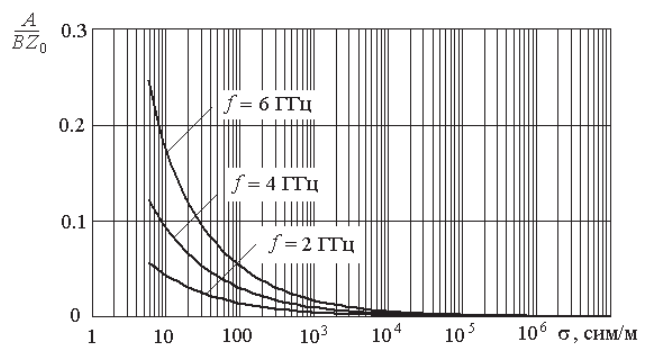


Рис. 4. Влияние удельной проводимости материала стенок волновода на структуру поля основной волны:  $A$  – амплитуда  $E_z$ ;  $B$  – амплитуда  $H_z$ ;  $Z_0$  – волновое сопротивление свободного пространства

## Список литературы

1. Ильинский А.С., Слепян Г.Я. Колебания и волны в электродинамических системах с потерями. М.: МГУ, 1983. 232 с.
2. Mitsher К.М. An integral equation approach to scattering from a body of finite conductivity // Radio Science. 1967. V. 2. № 12. P. 1459–1470.
3. Ong Т.Т., Celli V., Marvin А.М. General relation between surface impedance and surface curvature // JOSA. 1994. V. A11. P. 759–765.
4. Yuferev S., Proekt L., Ida N. Surface impedance boundary conditions near corners and edges: rigorous consideration // IEEE Transactions on Magnetics. 2001. V. 37. № 5. P. 3465–3468.

5. Conductor loss in hollow waveguides using a surface integral formulation / M. Swaminathan [et al.] // IEEE Transactions on MTT. 1992. V. 40. № 11. P. 2034–2041.
6. Кураев А.А., Сеницын А.К. Влияние конечной проводимости металлических стенок на характеристики мощных релятивистских приборов СВЧ с нерегулярными электродинамическими системами // Доклады БГУИР. 2006. № 3(15). С. 89–92.
7. Кураев А.А., Сеницын А.К., Яроменок С.И. Поля в продольно-периодических волноводах с учетом потерь в металлических стенках // Доклады БГУИР. 2008. № 1(31). С. 48–54.
8. Котельников И.А. О затухании в волноводе // ЖТФ. 2004. Т. 74. Вып. 9. С. 91–96.
9. Никольский В.В., Никольская Т.И. Электродинамика и распространение радиоволн. М.: Наука, 1989. 544 с.
10. Бирюков В.В., Раевский С.Б. Расчет волноводов с учетом конечной проводимости стенок на основе обобщенного метода Галеркина // Антенны. 2009. № 1. С. 5–12.
11. Бирюков В.В. Учет конечной проводимости при расчете волноводов СВЧ- и КВЧ-диапазонов на основе релятивистского подхода // Письма в ЖТФ. 2008. Т. 34. Вып. 2. С. 75–82.

---

## Effect of the finite conductivity of the walls on the circular waveguide field structure and characteristics

*V.V. Biryukov, V.A. Grachev*

The use of the impedance method for the decision of a task on propagation of waves in a round waveguide with a non-ideal conducting surface is considered. The comparison with results received with the help of a disturbance method is given.

*Keywords:* circular waveguide, the Helmholtz equation, the dispersion equation, the impedance boundary conditions, the perturbation method.

---